

ЕЛЕКТРОФІЗИЧНІ ВЛАСТИВОСТІ ТОНКИХ ПОЛІКРИСТАЛІЧНИХ ПЛІВОК Cr, Cu, Ni ТА Ti

І. Ю. Проценко, О. В. Шовкопляс, Ю. М. Овчаренко, Н. М. Опанасюк

Сумський державний університет, вул. Римського-Корсакова, 2, Суми, UA-244007, Україна
(Отримано 20 грудня 1996)

Проведено дослідження розмірного ефекту у термічного коефіцієнта опору і коефіцієнта тензочутливості плівок Cr, Cu, Ni та Ti. Розраховані параметри електропереносу $\lambda_g, R, r, p, \eta_l$. Одержано, що зміна ТКО в плівках з покриттям пов'язана з частковою зміною коефіцієнта дзеркальності та коефіцієнта проходження електронами межі зерна, що зумовлене міжзеренною дифузією атомів покриття.

Ключові слова: електропровідність, тензочутливість, тонка плівка, розмірний ефект, межі кристалітів, поверхня плівки.

PACS number(s): 73.61.At, 73.90.+f

I. ВСТУП

Відомо, що провідність тонких полікристалічних плівок значно менша від провідності масивних зразків. Це зумовлює зменшення термічного коефіцієнта опору (ТКО) та збільшення коефіцієнта тензочутливості (КТ) плівок порівняно з масивними матеріалами. Зміни електрофізичних властивостей пояснюють внутрішнім (розсіювання носіїв електричного струму на межах кристалітів) та зовнішнім (розсіювання на зовнішніх поверхнях плівки) розмірними ефектами [1–3]. Залежно від дисперсності зразків роль внутрішнього розмірного ефекту може бути вирішальною, що зумовить певні особливості в кінетичних явищах.

У роботі аналізуємо коло цих питань на підставі даних з електрофізичних властивостей металевих плівок з різними типами кристалічних ґраток (Cr, Cu, Ni та Ti).

II. МЕТОДИКА ЕКСПЕРИМЕНТУ

Плівки одержували методом термічного та електронно-променевого випаровування на скляні (вимірювання ТКО) та текстолітові (вимірювання КТ) підкладки при $T_p = 300$ К у вакуумі $\sim (10^{-3} \div 10^{-4})$ Па. Фазовий та елементний склад вивчали способом вторинно-йонної мас-спектрометрії. КТ розраховували за кутовим коефіцієнтом залежності $\Delta R/R$ від ε_l (R — опір, ε_l — поздовжня деформація), одержаної під час деформації плівки з підкладкою методом розтягу за допомогою мікрогвинта ($\varepsilon_{\max} = 2 \cdot 10^{-2}$). Плівки з метою стабілізації їхніх електрических властивостей відпалиювали у вакуумі за схемою “нагрівання \leftrightarrow охолодження” зі швидкістю 3 К/хв від T_p до 500 К (підкладка з текстоліту) або 700 К (скляна підкладка), що в першому випадку дещо нижче від температури рекристалізації ($T_p \leq 0,3T_{\text{пл}}$, де $T_{\text{пл}}$ — температура плавлення плівкового зразка), і в другому випадку дещо вище від

T_p . Це дає підстави стверджувати, що вибраний режим відпалиювання дає змогу вивчати електрофізичні властивості у повністю рекристалізованих, а тензочутливість — у частково рекристалізованих плівках. Після декількох циклів відпалиювання електричні властивості зразків повністю стабілізувалися і середній розмір кристалів більше не змінювався.

Аналіз мас-спектрів свідчить про те, що поверхні зразків збоку підкладки та вакууму забруднені окисами MeO_x (рис. 1), хоча в об’ємі плівки їх нема. Згідно з електронографічними даними, параметр ґратки плівок Cr (ОЦК), Cu та Ni (ГЦК) та Ti (ГШУ) дуже близький до величини, яку спостерігаємо у масивних зразках. Це є якісним підтвердженням того факту, що в об’ємі зразка домішкові атоми майже відсутні. Методом електронографічних досліджень плівок Ge/Ni, Ge/Cr та Ge/C (товщина покриття Ge $d_{\text{покр}} \sim 1$ нм) було виявлено, що плівки Ge після конденсації перебували в аморфному стані, але під час відпалиювання (не менше трьох термоциклів) кристалізувались у ґратку типу алмаза з параметрами, що відповідають масивному германію.

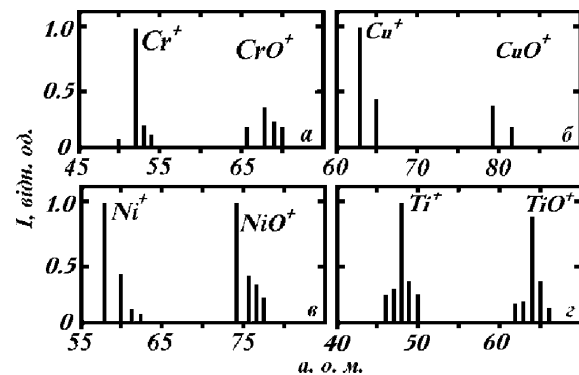


Рис. 1. Мас-спектр вторинних іонів з поверхні плівки збоку вакууму. Інтенсивність ліній, що відповідають MeO_x , збільшена в 5 разів.

ІІІ. РЕЗУЛЬТАТИ, ЇХНЯ ОБРОВКА ТА ОБГОВОРЕННЯ

A. Розмірний ефект у термічному коефіцієнти опору

Результати з розмірного ефекту в ТКО обробляли в рамках лінеяризованого співвідношення моделі Маядаса–Шатцкеса, запропонованого в [4], і в рамках моделі ізотропного розсіювання носіїв електричного струму [1]. У першому випадку використане таке робоче співвідношення:

$$\beta d = \beta_g d - \beta_g \lambda_0 (1 - p) H(\alpha), \quad (3.1)$$

у другому — основні співвідношення моделі ізотропного розсіювання:

$$\beta^{-1}d = \beta_g^{-1}d + 3/8\beta_0^{-1}\lambda_0 \ln(1/p), \quad (3.2)$$

$$\beta_g \beta_0^{-1} = f(\alpha) = [1 + 1.45L^{-1}\lambda_0 \ln(1/r)]^{-1}, \quad (3.3)$$

$$R/(1-R) = 0.97 \ln(1/r), \quad (3.4)$$

де d — товщина; β , β_0 та β_g — ТКО плівки, масивного зразка та масивного конденсата (тобто при $d \rightarrow \infty$) відповідно; λ_0 — середня довжина вільного пробігу (СДВП) електронів у масивному зразку (між λ_0 і λ_g ,

що лімітується межами зерен, є зв'язок $\lambda_g = \lambda_0 f(\alpha)$, де $f(\alpha)$ — функція розсіювання на межі зерна); p — коефіцієнт дзеркальності поверхні плівки; R та r — коефіцієнти розсіювання та проходження меж зерен; $H(\alpha)$ — відома функція.

Як випливає з (3.1) та (3.2), залежності βd від d та $\beta^{-1}d$ від d являють собою прямі лінії (рис. 2), за кутовими коефіцієнтами яких та відрізками, що відтинаються на осі ординат, можна розрахувати параметри електропереносу. У табл. 1 подані результати розрахунків та аналогічні дані інших авторів, які в цілому (за винятком плівок Ti) узгоджуються з нашими. Відмінність у результатах для плівок Ti пов'язана, насамперед, з різними вакуумними умовами конденсації, а також із використанням різних теоретичних моделей, згідно з якими обробляли експериментальні результати (у [5] — ефективна модель СДВП, у [6] — модель Фукса–Зондгеймера і в нашому випадку — модель ізотропного розсіювання).

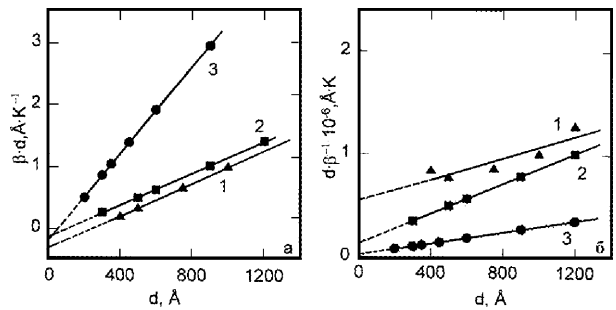


Рис. 2. Залежність $\beta d(d)$ та $\beta^{-1}d(d)$ для плівок Cr (1), Cu (2) та Ni (3).

| Плівка (d , нм) | Т, К | $\beta_g \cdot 10^3$, K^{-1} | СДВП, нм | | p | R | r | Примітки |
|-----------------------|------|------------------------------------|-------------------|-------------------|--------|-----------|-----------|-------------------|
| | | | $\lambda_0 (1-p)$ | $\lambda_g (1-p)$ | | | | |
| Cr | | | | | | | | |
| (30÷90) | 320 | 1.52 | 129.1 | 78.7 | 0 | 0.02÷0.04 | 0.93÷0.95 | [7] P~10⁻⁶ Па |
| (50÷100) | 320 | 1.52 | 131÷127 | 63.5÷65.5 | — | 0.09÷0.24 | — | |
| (20÷90) | 290 | 1.52 | 130 | 79 | 0.17 | 0.14 | 0.85 | [8] P~10⁻⁶ Па |
| Cu | | | | | | | | |
| (30÷120) | 320 | 1.90 | 38.7 | 17.8 | 0 | 0.44 | 0.45 | [9] P~10⁻⁶ Па |
| (30÷120) | 470 | 1.32 | 35.4 | 23.3 | 0 | 0.50 | 0.37 | |
| Ni | | | | | | | | |
| (25÷90) | 373 | 4.06 | 29.0 | 20.3 | 0.10 | 0.19÷0.35 | 0.78÷0.57 | [10] P~10⁻⁸ Па |
| (30÷110) | 293 | 4.78÷4.17 | 30÷36 | 26.1÷27.3 | 0 | 0.10÷0.40 | — | |
| (3÷40) | 300 | — | 18 | — | 0÷0.05 | 0.30÷45 | 0.75÷0.63 | [11] |
| | 300 | — | 23 | — | — | 0.3 | — | |
| Ti | | | | | | | | |
| (50÷100) | 293 | — | 168 | — | 0 | 0.20÷0.08 | 0.77÷0.92 | [5] P~10⁻⁵ Па |
| (20÷75) | 320 | 0.47 | 96.7 | 10.6 | 0 | 0.40 | 0.50 | |
| | 363 | — | 22.2 | — | — | 0.45 | — | [6] |
| | 423 | — | 19.7 | — | — | — | — | [6] |
| | 570 | 0.43 | 27.2 | 7.3 | 0 | 0.50 | 0.50 | |

$$\begin{aligned} \beta^{Cr}(290 \div 320K) &= 2.50 \cdot 10^{-3} K^{-1}; \beta^{Cu}(320K) = 4.12 \cdot 10^{-3} K^{-1}, \beta^{Cu}(470K) = 2.07 \cdot 10^{-3} K^{-1}; \\ \beta^{Ni}(293 \div 373K) &= 5.50 \cdot 10^{-3} K^{-1}; \beta_0^{Ti}(293 \div 320K) = 3.58 \cdot 10^{-3} K^{-1}, \beta_0^{Ti}(363K) = 3.00 \cdot 10^{-3} K^{-1}, \\ \beta_0^{Ti}(423K) &= 2.86 \cdot 10^{-3} K^{-1}, \beta_0^{Ti}(570K) = 1.63 \cdot 10^{-3} K^{-1} [12]. \end{aligned}$$

Таблиця 1. Параметри електропереносу в плівках Cr, Cu, Ni та Ti.

B. Плівки з германієвим покриттям

Відомо [8,9], що металеві плівки з діелектричним, напівпровідниковим чи металевим покриттям змінюють свої електрофізичні властивості і $\Delta\rho = \rho(\text{Ме}) - \rho(\text{покр}/\text{Ме})$ може мати додатне або від'ємне значення. Ця відмінність може бути пов'язана з такими явищами: зміною коефіцієнта дзеркальності поверхні плівки після осадження покриття [13]; формуванням проміжної фази на межі поділу плівка—покриття; утворенням екситонів Ван'є—Мотта або типу куперівської пари [14]; зміною коефіцієнта розсіювання або проходження межі зерна внаслідок дифузії атомів покриття межами зерен.

Ми дослідили розмірну залежність ТКО від товщини для плівок Ni, Cr, Ge/Ni та Ge/Cr ($d_{\text{покр}} \ll d_{Ni}$). Одержані результати обробили, як і в попередньому випадку, у рамках співвідношень (3.1)÷(3.4), припускаючи, що германієве покриття не змінює значення середньої довжини вільного пробігу. У табл. 2 наведені результати розрахунку параметрів електропереносу для системи Ge/Ni (для плівок Ge/Cr результати якісно такі ж, але зміна параметрів R та r значно менша).

| d , нм | $\lambda_0(1-p)$, нм | R | r | p |
|----------|-----------------------|------|------|------|
| 25 | 29 | 0.17 | 0.81 | 0.14 |
| 45 | 29 | 0.27 | 0.68 | 0.14 |
| 55 | 29 | 0.31 | 0.63 | 0.14 |

Таблиця 2. Параметри електропереносу для плівок Ge/Ni.

Порівняння даних, наведених у табл. 1 і 2, свідчить, що під час осадження покриття по-різному можуть змінюватися всі три коефіцієнти — дзеркальності, розсіювання та проходження межі зерна. Це можна пояснити дифузією атомів Ge міжзерennими межами, яка фіксується [15] методом вторинно-йонної мас-спектрометрії. Отже, додатне значення $\Delta\rho$, яке спостерігається в плівкових системах Ge/Cr та Ge/Ni, можна пояснити без використання гіпотези про екситонний механізм провідності.

C. Розмірний ефект у тензоочутливості

Дослідження розмірного ефекту в КТ дало змогу виявити такі особливості.

У плівках Cu КТ монотонно зменшується від $\gamma_l = 8$ ($d = 50\text{nm}$), виходячи на асимптотичне значення

$\gamma_{gl} = 2.1$. Аналогічну залежність спостерігали раніше [16] у плівках Cr, Ni, Co/Cr, Co/Ni. Проте в плівках Ti, як і в Co, Cr/Co та Ni/Co [16], наявна інверсія розмірної залежності, причиною якої є різний внесок у величину γ_l поверхневого розсіювання та розсіювання на межі зерен носіїв електричного струму. Однак, крім цього фактора, може виявиться, що певну роль відіграє забруднення зразків залишковими газами. Принциповою відмінністю деформаційної залежності $\Delta R/R$ від ε_l для плівок Ti, порівняно з плівками Cu, є наявність двох лінійних ділянок (рис. 3) з різними кутовими коефіцієнтами (γ_{l1} та γ_{l2}). В інтервалі малих деформацій $\Delta\varepsilon_{l1} \approx (0 \div 8) \cdot 10^{-3}\gamma_l$ змінюється залежно від товщини в межах $5 \div 20$, а в інтервалі великих деформацій $\Delta\varepsilon_{l2} \approx (8 \div 20) \cdot 10^{-3}$ — від 1 до 20. На підставі даних з тензоочутливості розраховано параметри електропереносу (табл. 3), які дещо відрізняються від аналогічних, одержаних за результатами вимірювань ТКО (див.табл. 1).

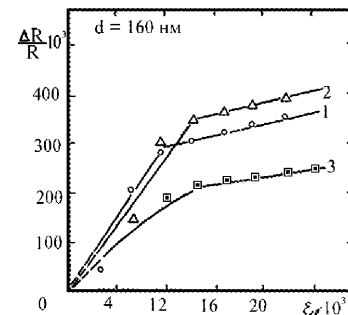


Рис. 3. Залежність $\Delta R/R$ від ε_l для плівки Ti товщиною $d = 160\text{nm}$. 1 ÷ 3 — номери деформаційних циклів.

| Плівка | T, K | $\beta_g \cdot 10^l, K^{-1}$ | $\lambda_g, \text{нм}$ | η_l | R | r |
|--------|--------|------------------------------|------------------------|----------|------|------|
| Cu | 470 | 1.32 | 23.3 | 2.1 | 0.60 | 0.40 |
| Ti | 320 | 0.47 | 10.6 | 33 | 0.50 | 0.37 |

Таблиця 3. Середні значення параметрів електропереносу.

Використовуючи значення λ_g і $\eta_l = -\frac{1}{\lambda_0} \cdot \frac{d\lambda_0}{d\varepsilon_l}$, можна оцінити зміну $\Delta\lambda_g$ під час деформації. У випадку плівок Cu воно має величину меншу від 1 нм, а в плівках Ti сумірне з λ_g . Отже, в останньому випадку зміна опору $\Delta R/R$ зумовлена не тільки зміною середньої довжини вільного пробігу, а, очевидно, й процесами пластичної мікродеформації, яка виявляється помітніше в сильнодисперсних плівках Ti.

- [1] A. J. Tosser, C. R. Tellier, C. R. Pichard, J. Mater. Sci. **16**, 944 (1981).
[2] Б. І. Белевцев, Ю. Ф. Комник, В. І. Однокозов, Физ.

твёрд. тела. **26**, 3274 (1984).

[3] И. Е. Проценко, Изв. вузов, Физика **6**, 42 (1988).

[4] C. R. Tellier, A. J. Tosser, Thin Solid Films **33**, 19

- (1976).
- [5] В. Б. Лобода, И. Е. Проценко, М. Д. Смолин и др., Укр. физ. журн. **30**, 435 (1985).
 - [6] А. Gabr Abd-El-Moneim, M. I. El-Agrab, M. M. El-Nahass et all, Fizika **16**, 233 (1984).
 - [7] В. Б. Лобода, И. Е. Проценко, В. Г. Шамоня, Укр. физ. журн. **27**, 1343 (1982).
 - [8] М. М. Козак, Б. Л. Мельничук, З. В. Стасюк и др., Физ. электрон. **41**, 100 (1990).
 - [9] В. Б. Лобода, И. Е. Проценко, М. Д. Смолин, Металлофизика **5**, 69 (1983).
 - [10] И. М. Дума, К. И. Лах, Б. Л. Мельничук, З. В. Стасюк, Металлофизика **15**, 60 (1993).
 - [11] E. I. Tochitskii, N. M. Belyavskii, Phys. Status Solidi A **61**, K21 (1980).
 - [12] В. Г. Самсонов, *Физико-химические свойства элементов: Справочник* (Наукова думка, Київ, 1965).
 - [13] К. Л. Чопра, *Электрические явления в тонких пленках* (Мир, Москва, 1972).
 - [14] R. Shoder, L. Wolch, J. Vac. Technol. A **9**, 557 (1991).
 - [15] І. Ю. Проценко, Л. В. Однодворець, В. Г. Шамоня, Вісн. Сум. ун—ту **1**, 25 (1994).
 - [16] И. Е. Проценко, А. Н. Чорноус, Металлофиз. нов. технол. **16**, 18 (1994).

THE ELECTROPHYSICAL PROPERTIES OF THIN POLYCRYSTALLINE Cr, Cu, Ni AND Ti FILMS

I. Yu. Protsenko, O. V. Shovkopyas, Yu. M. Ovcharenko, N. M. Opanasyuk
Sumy State University, 2 Rymskyi-Korsakov Str., Sumy, UA-244007, Ukraine

A study of size effect in temperature resistance coefficient and tension sensitivity coefficient of Cr, Cu, Ni, and Ti has been undertaken. The electrical transport parameters λ_g , R , r , p , η , were calculated. The change of TCR in films with the overlayer is connected with a partial change of specularity reflection parameter of surface film and specular transmission coefficient of grain boundary which is connected with the codiffusion of the overlayer atoms.